

## Термодинамика внедрения лития в стеклообразный пентаоксид ванадия

© В.И. Гаврилюк

Днепропетровский государственный технический университет железнодорожного транспорта,  
320010 Днепропетровск, Украина

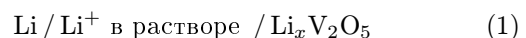
(Поступило в Редакцию 14 марта 1995 г.)

### Введение

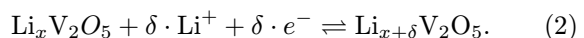
Пентаоксид ванадия имеет открытую каркасную кристаллическую структуру с достаточно большим объемом междуузлий и двунаправленными протяженными туннелями [1], что обуславливает возможность протекания при комнатной температуре реакции внедрения в оксид ионов с небольшим радиусом ( $H^+$ ,  $Li^+$ ,  $Na^+$  и др.) из соответствующих растворов [2]. Интерес к соединениям внедрения лития в пентаоксид ванадия связан с возможностью их использования в электрооптических устройствах [3,4] и в источниках тока с литиевым анодом [5,6]. Соединение внедрения  $Li_xV_2O_5$  ( $0 < x < 1$ ), синтезированное при комнатной температуре, имеет орторомбическую структуру, как у исходного пентаоксида ванадия [5,6]. При увеличении содержания лития в кристаллическом  $Li_xV_2O_5$  вследствие деформационного взаимодействия между инжектированными междуузельными ионами происходят процессы упорядочения как в литиевой, так и в оксидно-ванадиевой подрешетках соединения [7]. Обратимость реакции внедрения лития в стеклообразный  $V_2O_5$  выше, чем в кристаллический [8]. Причины различия в электродном поведении кристаллического и стеклообразного пентаоксида ванадия изучены недостаточно полно. Результаты исследования соединений методом ИК спектроскопии указывают на подобие ближайшего окружения ионов лития в кристаллическом и стеклообразном  $Li_xV_2O_5$  ( $0 < x < 1$ ). Исследования соединения методом рентгенофазового анализа не позволяют получить непосредственным образом информацию о характере размещения инжектированных ионов в междуузлиях оксида вследствие их малой рассеивающей способности. Поэтому математическое моделирование является практически основным методом изучение литиевой подсистемы соединения внедрения. Результаты исследования термодинамических свойств кристаллического  $Li_xV_2O_5$  и построенная на их основе модель равновесного размещения междуузельных ионов лития в соединении внедрения приведены в [7]. Целью настоящей работы является исследование особенностей термодинамики электрохимического внедрения ионов лития в стеклообразный пентаоксид ванадия.

### Методы исследования

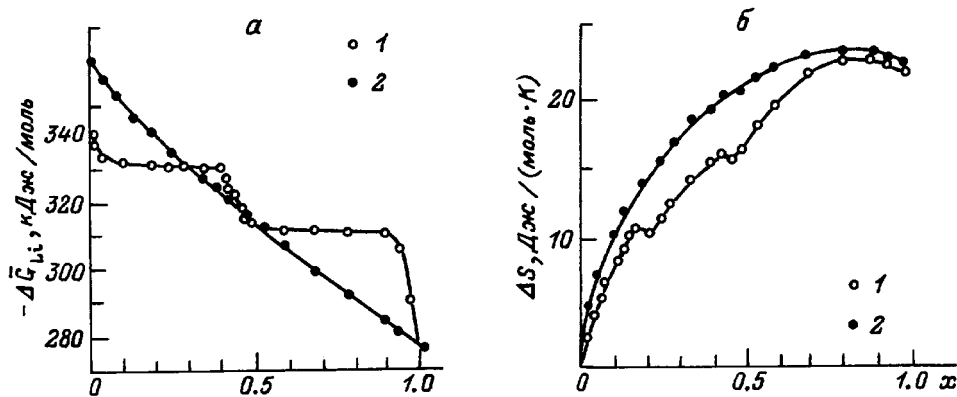
Стеклообразный пентаоксид ванадия синтезирован плавлением оксида при 1073 К в печи на воздухе с последующей закалкой аналогично [9]. Аморфность образцов подтверждена измерением рентгеновских и электронных дифрактограмм. Термодинамические свойства  $Li_xV_2O_5$  исследованы методом измерения ЭДС гальванического элемента



в интервале температур 283–323 К аналогично [7]. Потенциообразующая реакция этого элемента имеет вид [5,6]



Измерения проведены в стеклянной трехэлектродной ячейке. Рабочий электрод изготовлен прессованием порошка исследуемого стекла, токопроводящей добавки (ацетиленовой сажи) и связующего. Вспомогательный электрод и электрод сравнения выполнены из лития. В качестве электролита использован 1.4-молярный раствор гексафторарсената лития (чистотой 99.8%) в смеси растворителей 2-метилтетрагидрофурана и тетрагидрофурана с содержанием влаги менее  $8 \cdot 10^{-3}\%$  [7]. Восстановление стеклообразного  $V_2O_5$  по реакции (2) проведено током плотностью 0.1 мА/см<sup>2</sup>. ЭДС элемента измерена потенциометром Р37-1 с точностью  $\pm 0.1$  мВ. Значения ЭДС считали установленными, если их изменения не превышали 0.2 мВ за 1 ч при постоянной ( $\pm 0.5$  К) температуре. Дисперсия воспроизводимости ЭДС составляла  $S_{E(T)}^2 = 0.05$  мВ<sup>2</sup> ( $n = 20$ ). Математическая обработка результатов измерений температурной зависимости ЭДС проведена по методу наименьших квадратов с использованием аппроксимирующего уравнения вида  $E = \bar{E} + B(T - \bar{T})$ . Для исследования изменения структуры стекла в результате протекания реакции внедрения проведено измерение среднего значения мольного объема кислорода  $V_0^*(x)$  в  $Li_xV_2O_5$  аналогично [9].



Зависимость  $\Delta\bar{G}_{Li}(x)$  (а) и  $\Delta S(x)$  (б) от  $x$  для кристаллического (1) и стеклообразного  $Li_xV_2O_5$  (2) (точки — эксперимент, кривая — расчет).

## Результаты и их обсуждение

При образовании стеклообразного соединения внедрения по реакции (2) среднее значение мольного объема кислорода  $V_0^*(x)$ , относительная парциальная мольная свободная энергия Гиббса  $\Delta\bar{G}_{Li}(x)$  и мольная энтропия  $\Delta S(x)$  изменяются монотонно при увеличении параметра состава  $x$  от 0 до 1 (см. рисунок), что качественно отличается от характера изменения этих параметров при увеличении содержания лития в кристаллическом  $Li_xV_2O_5$ , для которого наблюдаются минимумы на кривой  $\Delta S(x)$  при  $x \approx 0.25$ ,  $\sim 0.5$  и  $\sim 1$ , заметное изменение значения  $\Delta\bar{G}_{Li}(x)$  при  $x \approx 0.5$  (см. рисунок), а также усиление зависимости  $V_0^*(x)$  от параметра состава  $X$  при  $0.2 < x < 0.3$  и  $0.7 < x < 1$  [7]. Такое поведение термодинамических параметров говорит о том, что процессы упорядочения в стеклообразном  $Li_xV_2O_5$  менее выражены по сравнению с кристаллическим соединением. Согласно исследованиям  $Li_xV_2O_5$  методом ИК спектроскопии, поляризационное искажение оксидно-ванадиевой подрешетки вокруг междоузельных ионов лития, а следовательно, и деформационное взаимодействие между ними в кристаллическом и стеклообразном соединениях внедрения подобны. Причины, по которым деформационное взаимодействие между инжектированными ионами лития в стеклообразном  $Li_xV_2O_5$  не приводят к упорядочению в литиевой подрешетке, аналогичному наблюдаемому для кристаллического соединения, обусловлены, по-видимому, отсутствием дальнего порядка в стекле. Монотонное изменение  $\Delta\bar{G}_{Li}(x)$ , наблюдаемое при увеличении содержания лития в стеклообразном  $Li_xV_2O_5$  (см. рисунок), позволяет предположить, что инжектированные в оксид ионы лития размещаются в энергетически неэквивалентных междоузлиях, причем распределение междоузлий по энергиям носит квазинепрерывный характер.

Обозначая через  $D_0^+$ ,  $D_0^-$  общее число позиций (междоузлий и электронных уровней), в которых могут разместиться инжектированные по реакции (2) соответственно ионы лития и электроны,  $g^+(u)$  и  $g^-(u)$  функции распределения соответственно междоузельных позиций и электронных уровней в стеклообразном  $Li_xV_2O_5$  по энергиям, а через  $f^+(u, t)$  и  $f^-(u, T)$  — функции распределения соответственно ионов лития и электронов в этих позициях, можно записать следующее выражение для концентраций ионов лития  $n^+$  и электронов  $n^-$ , инжектированных в  $Li_xV_2O_5$  по реакции (2) [10],

$$n^\pm = \int_0^\infty D_0^\pm g^\pm(u) f^\pm(u, T) du, \quad (3)$$

в котором знаки + и − относятся соответственно к ионам лития и электронам. В соответствии с вышесказанным для функции плотности распределения междоузельных позиций по энергиям (соответствующим размещению в них ионов лития) использовано выражение

$$g^+(u) = \sum_{i=1}^2 d_i g_i^+(u), \quad (4)$$

в котором  $g_i^+(u) = 1/(\sigma\sqrt{2\pi}) \exp[-(u - u_i)^2/(2\sigma^2)]$  — функция нормального распределения Гаусса, введенная для аппроксимации распределения междоузельных позиций в стекле по энергиям, обусловленным неупорядоченностью его структуры.

Для учета влияния деформационного взаимодействия на энергию размещения инжектированных в  $Li_xV_2O_5$  ионов лития, в литиевой подрешетке соединения выделены две подсистемы, соответственно не имеющие и имеющие по соседству с вакантными междоузлиями междоузлия, занятые ранее инжектированными ионами лития. Очевидно, по мере увеличения содержания лития в  $Li_xV_2O_5$  относительная доля междоузлий первого типа  $d_1$  уменьшается, а второго

типа  $d_2$  — увеличивается ( $d_1 + d_2 = 1$ ). Средние значения энергий размещения ионов лития в этих двух типах междуузлий различаются на энергию деформационного взаимодействия их между собой ( $u_2 - u_1 = \Delta u_{\text{вз}}$ ).

Учитывая, что инжектированные по реакции (2) электроны локализуются на ионах ванадия, понижая их степень окисления до  $\text{V}^{4+}$ , можно положить в первом приближении, что инжектированные электроны располагаются на уровнях с одинаковой энергией, т. е.  $g^-(u) = 1$ .

Для описания распределения электронов, а также ионов лития в соответствующих позициях при условии, что в одном междуузлии может располагаться только один ион, использованы соответствующие функции распределения Ферми–Дирака [10]

$$f^\pm(u, T) = \left[ \exp \left[ (u - \Delta \bar{G}^\pm(x)) / (RT) \right] + 1 \right]^{-1}, \quad (5)$$

где  $\Delta \bar{G}^+(x)$  и  $\Delta \bar{G}^-(x)$  — относительные свободные энергии Гиббса соответственно ионов лития и электронов, внедренных в  $\text{Li}_x\text{V}_2\text{O}_5$  по реакции (2).

Подставляя (4) и (5) в (3) и проводя преобразования, получаем уравнения, которые являются неоднородными уравнениями Фредгольма второго рода относительно  $\Delta \bar{G}^+(x)$  и  $\Delta \bar{G}^-(x)$ . Учитывая очевидные соотношения  $n^+ = n^-$ ,  $n^+/D_0^+ = x$ , решаем эти интегральные уравнения численным методом и определяем термодинамические параметры  $\Delta \bar{G}^+(x)$  и  $\Delta \bar{G}^-(x)$ , а также  $\Delta \bar{G}_{\text{Li}}(x) = \Delta \bar{G}^+(x) + \Delta \bar{G}^-(x)$ ,  $\Delta \bar{S}_{\text{Li}}(x) = -\partial(\Delta \bar{G}_{\text{Li}}(x)) / \partial T$ ,  $\Delta \bar{H}_{\text{Li}}(x) = \Delta \bar{G}_{\text{Li}}(x) + T \cdot \Delta \bar{S}_{\text{Li}}(x)$ . Из условия неилучшего совпадения расчетных данных с экспериментальными (рис. 1) получены следующие значения параметров модели:  $\Delta u_{\text{вз}} = u_2 - u_1 = 26.1 \text{ кДж/моль}$ ,  $\sigma = 10.9 \text{ кДж/моль}$ . Таким образом, значения энергии деформационного взаимодействия между инжектированными ионами лития в стеклообразном и кристаллическом ( $\Delta u_{\text{вз}} = 28.5 \text{ кДж/моль}$  [7])  $\text{Li}_x\text{V}_2\text{O}_5$  близки по величине.

В соответствии с проведенными исследованиями можно сделать вывод, согласно которому при размещении в междуузлиях стеклообразного пентаксида ванадия ионов лития, инжектированных при комнатной температуре, заметного упорядочения в литиевой подсистеме соединения внедрения, аналогичного наблюдаемому в кристаллическом оксиде, не происходит, несмотря на то что энергии деформационного взаимодействия между ионами лития в стеклообразном и кристаллическом оксидах близки по величине. Это объясняется неупорядоченностью оксиднованадиевой подсистемы (типа "хозяин") стеклообразного соединения.

## Список литературы

- [1] Bachman H.G., Ahmed F.R., Barnes W.H. // Z. Kristallogr. 1961. Bd 115. N 1. P. 110–131.
- [2] Dickens P.G., Chippindale A.M., Hibble S.J. // Sol. St. Ionics. 1989. Vol. 34. N 1. P. 79–85.
- [3] Гаврилюк А.И., Чудновский Ф.А. // Письма в ЖТФ. 1979. Т. 5. Вып. 20. С. 1227–1230.
- [4] Fujita Y., Miyazaki K., Tatsuyama C. // Jap. J. Appl. Phys. 1985. Vol. 24. N 8. P. 1082–1086.
- [5] Dickens P.G., French S.J., Hight A.T. // Mater. Res. Bull. 1979. Vol. 14. N 10. P. 1295–1299.
- [6] Murphy D.W., Christian P.A., DiSalvo F.J., Waszczak J.V. // Inorgan. Chem. 1979. Vol. 18. N 10. P. 2800–2803.
- [7] Гаврилюк В.И., Плахотник В.Н. // Журн. физ. химии. 1994. Т. 68. № 8. С. 1373–1376.
- [8] Sakurai Y., Okada S., Yamaki J., Okada T. // J. Power. Sources. 1987. Vol. 20. P. 177–178.
- [9] Drake C.F., Stephan J.A., Yates B. // J. Non-Cryst. Solids. 1978. Vol. 28. P. 61–65.
- [10] Чеботин В.Н. Физическая химия твердого тела. М.: Химия, 1982. 320 с.